

3.1.3 Измерение магнитного поля Земли

Панасик А. В.

Б03-004

3 сентября 2021

Цель работы: определить характеристики шарообразных неодимовых магнитов и, используя законы взаимодействия магнитных моментов с полем, измерить горизонтальную и вертикальную составляющие индукции магнитного поля Земли и магнитное наклонение.

В работе используются: 12 одинаковых неодимовых магнитных шариков, тонкая нить для изготовления крутильного маятника, медная проволока диаметром (0,5 – 0,6) мм, электронные весы, секундомер, измеритель магнитной индукции АТЕ-8702, штангенциркуль, брусок из немагнитного материала (25 x 30 x 60 мм³), деревянная линейка, штатив из немагнитного материала, набор гирь и разновесов.

Теория

Точечный магнитный диполь

Простейший магнитный диполь может быть образован витком с током или постоянным магнитом. По определению, магнитный момент \vec{P}_m тонкого витка площадью S с током I равен:

$$\vec{P}_m = \frac{1}{c} \vec{S} = \frac{1}{c} S \vec{n} ,$$

где c – скорость света в вакууме, $S = S \vec{n}$ — вектор площади контура, образующий с направлением тока правовинтовую систему, \vec{n} — единичный вектор нормали к площадке S . Если размеры контура с током или магнитной стрелки малы по сравнению с расстоянием до диполя, то соответствующий магнитный диполь называют элементарным или точечным.

Магнитное поле точечного диполя определяется по формуле, аналогичной формуле для поля элементарного электрического диполя:

$$\vec{B} = \frac{3(\vec{P}_m, \vec{r})\vec{r}}{r^5} - \frac{\vec{P}_m}{r^3}$$

В магнитном поле с индукцией B на точечный магнитный диполь действует механический момент сил: $\vec{M} = \vec{P}_m \times \vec{B}$

Под действием вращающего момента \vec{M} виток с током или постоянный магнит поворачивается так, чтобы его магнитный момент выстроился вдоль вектора индукции магнитного поля. Это — положение устойчивого равновесия: при отклонении от этого положения возникает механический момент внешних сил,

возвращающий диполь к положению равновесия. В положении, когда \vec{P}_m и \vec{B} параллельны, но направлены противоположно друг другу, также имеет место равновесие ($M = 0$), но такое равновесие неустойчиво: малейшее отклонение от этого положения приведёт к появлению момента сил, стремящихся отклонить диполь ещё дальше от начального положения. Магнитный диполь в магнитном поле обладает энергией:

$$W = -(\vec{P}_m, \vec{B})$$

В неоднородном поле на точечный магнитный диполь, кроме момента сил, действует ещё и сила:

$$\vec{F} = (\vec{P}_m, \vec{\nabla}) \vec{B}$$

Используя формулы для момента силы, силы и энергии, не сложно выяснить, как ведёт себя свободный магнитный диполь в неоднородном магнитном поле: он выстраивается вдоль силовых линий магнитного поля и, кроме того, под действием результирующей силы, возникающей из-за неоднородности поля, втягивается в область более сильного магнитного поля, т.е. в область, где он обладает меньшей энергией.

Зная магнитные моменты P_1 и P_2 двух небольших постоянных магнитов, можно рассчитать силу их взаимодействия. Если магнитные моменты $P_1 = P_2 = P_m$ двух одинаковых небольших магнитов направлены вдоль соединяющей их прямой, а расстояние между ними равно r , то магниты взаимодействуют с силой:

$$F = P_m \frac{\partial B}{\partial r} = -6 \frac{P_m^2}{r^4}$$

Неодимовые магнитные шары

В настоящей работе используются неодимовые магниты шарообразной формы. Для нас важно то, что:

- 1) шары намагничены однородно;
- 2) вещество, из которого изготовлены магниты, является магнитожёстким материалом.

Магнитное поле однородно намагниченного шара радиуса R на расстояниях $r \geq R$ от центра шара совпадает с полем точечного магнитного диполя \vec{P}_m , равного полному магнитному моменту шара и расположенного в его центре.

Магнитожёсткость материала означает, что магнитные моменты шаров в нашей работе не изменяются под действием внешних магнитных полей, т.е. шар ведёт

как жёсткий диполь. Поэтому, при расчетах можно считать, что шары взаимодействуют как жёсткие точечные магнитные диполи, расположенные в центрах шаров. Полный магнитный момент \vec{P}_m постоянного магнита определяется намагниченностью $\vec{\rho}_m$ вещества, из которого он изготовлен. По определению, намагниченность – это магнитный момент единицы объёма. Для однородно намагниченного шара намагниченность равна:

$$\vec{\rho}_m = \frac{\vec{P}_m}{V}$$

Намагниченность — характеристика вещества постоянных магнитов, определяющая, в частности, величину остаточной магнитной индукции $B_r = 4\pi \rho_m$.

Индукция магнитного поля \vec{B}_p на полюсах однородно намагниченного шара связана с величиной намагниченности ρ_m и остаточной магнитной индукцией B_r формулой:

$$\vec{B}_p = \frac{8\pi}{3} \vec{\rho}_m = \frac{2}{3} \vec{B}_r$$

Определение величины магнитного момента неодимовых шариков

Величину магнитного момента \vec{P}_m одинаковых шариков можно рассчитать, зная их массу m и определив максимальное расстояние r_{\max} , на котором они ещё удерживают друг друга в поле тяжести (см. рис. 1). При максимальном расстоянии сила тяжести шариков равна силе их магнитного притяжения:

$$6 P_m^2 / r_{\max}^4 = mg$$

$$P_m = \sqrt{\frac{mgr_{\max}^4}{6}}$$

По величине магнитного момента P_m можно рассчитать величину индукции магнитного поля вблизи любой точки на поверхности шара радиуса R . Максимальная величина индукции наблюдается на полюсах:

$$\vec{B}_p = 2 \vec{P}_m / R^3$$

Измерение горизонтальной составляющей магнитного поля Земли

Магнитная «стрелка», составленная из n сцепленных друг с другом противоположными полюсами шариков, подвешивается с помощью Λ -

образного подвеса. При отклонении от равновесного положения на угол θ в горизонтальной плоскости начинает совершать крутильные колебания. При малых амплитудах уравнение колебаний стрелки имеет вид

$$I_n \frac{d^2 \theta}{dt^2} + P_0 B_h \theta = 0 ,$$

где $P_0 = n P_m$ - полный магнитный момент стрелки, B_h – горизонтальная

составляющая магнитного поля Земли, $I_n = \frac{1}{12} \cdot n m_0 \cdot (n d_0)^2 = \frac{n^3 m_0 d_0^2}{12}$ - момент

инерции стрелки (приблизительно вычисляется как момент инерции стержня той же массы и длины).

Тогда период крутильных колебаний вычисляется как

$$T = 2 \pi \sqrt{\frac{I_n}{P_0 B_h}} = 2 \pi \sqrt{\frac{n^3 m_0 d_0^2}{12 P_m B_h}}$$

Тогда B_h можно выразить через $T = k n$:

$$B_h = \frac{\pi^2 m_0 d_0^2}{3 P_m k^2}$$

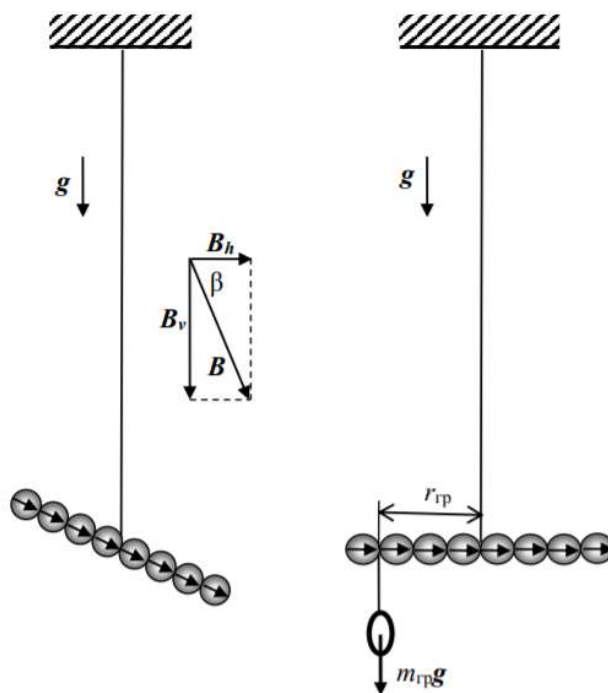
Измерение вертикальной составляющей магнитного поля Земли

Магнитная «стрелка», составленная из четного числа шариков и подвешенная на тонкой нити за середину, отклонится от горизонтального положения под действием вектора индукции магнитного поля Земли, образующего угол с горизонтом. Уравновесив стрелку с помощью грузов, можно рассчитать момент сил, действующих на стрелку со стороны магнитного поля Земли:

$$m_{гр} g r_{гр} = n P_m B_v = M(n)$$

(B_v – вертикальная составляющая поля Земли, $M(n)$ – механический момент, $m_{гр}$ — масса груза, $r_{гр}$ — плечо силы тяжести)

Тогда $B_v = \frac{M(n)}{P_m}$



Выполнение работы

1) Измеряем массу m_0 и диаметр d_0 одного неодимового шарика (был использован метод рядов):

$$m_0 = (0,834 \pm 0,001) \text{ г}$$

$$d_0 = (5,6 \pm 0,1) \text{ мм}$$

2) Определяем величину магнитного момента шариков. Для этого измеряем максимальное расстояние r_{\max} , на котором шарики удерживают друг друга в поле тяжести Земли: $r_{\max} = (1,34 \pm 0,01) \text{ см}$

На этом расстоянии сила тяжести уравнивает силу притяжения:

$$P_m = \sqrt{\frac{m_0 g r_{\max}^4}{6}} = 21,2 \text{ эрг/Гс}$$

$$\sigma_{P_m} = P_m \sqrt{\frac{1}{4} \left(\frac{\sigma_{m_0}}{m_0} \right)^2 + 4 \left(\frac{\sigma_{r_{\max}}}{r_{\max}} \right)^2} = 0,7 \text{ эрг/Гс}$$

Тогда индукция на полюсах шарика будет составлять

$$\vec{B}_p = 2 \vec{P}_m / R^3 = 1,9 \text{ кГс}$$

$$\sigma_{B_p} = B_p \sqrt{\left(\frac{\sigma_{P_m}}{P_m} \right)^2 + 9 \left(\frac{\sigma_d}{d} \right)^2} = 0,1 \text{ кГс}$$

С помощью магнитометра измеряем индукцию магнитного поля на полюсах одного шарика. Усредняя результат серии измерений, получаем

$\vec{B}_p' = (212 \pm 1) \text{ мТл} = (2,12 \pm 0,01) \text{ кГс}$. Вычисленное и измеренное значение индукции совпадают в пределах погрешности.

Найдем также величину остаточной магнитной индукции материала, из которого изготовлен магнитный шарик:

$$B_r = 4\pi \frac{P_m}{4/3 \pi R^3} = 3 \frac{P_m}{R^3} = 2,8 \text{ кГс}$$

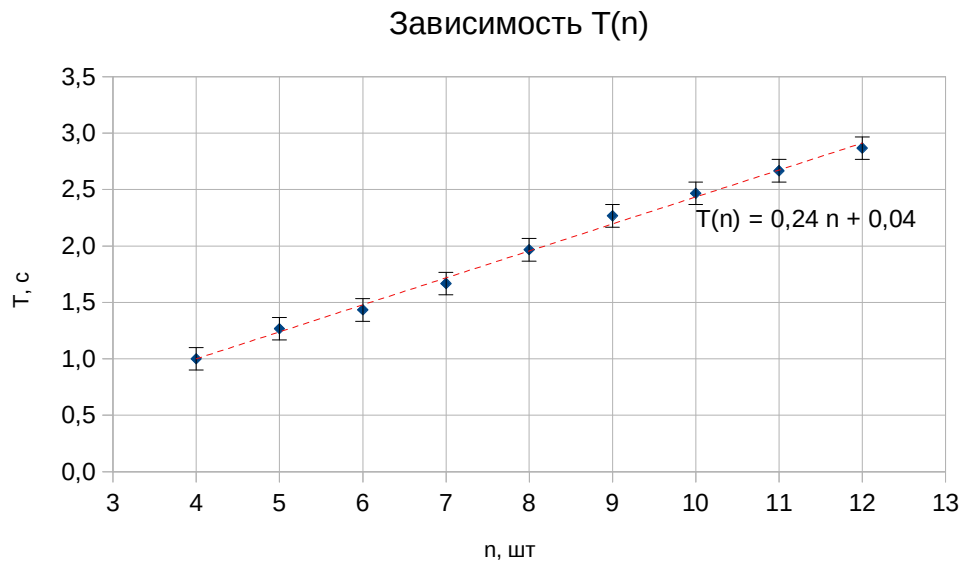
$$\sigma_{B_r} = B_r \sqrt{\left(\frac{\sigma_{P_m}}{P_m}\right)^2 + 9 \left(\frac{\sigma_d}{d}\right)^2} = 0,1 \text{ кГс}$$

3) Соберем установку для определения горизонтальной составляющей магнитного поля Земли.

Убедимся сначала, что упругость нити не оказывает влияние на период крутильных колебаний; для этого измерим период крутильных колебаний «кольца» из магнитных шариков: в среднем он равен $T_0 = 12 \pm 1 \text{ с}$. Это время много больше периода крутильных колебаний стрелки, значит, упругостью нити можно пренебречь.

Измерим зависимость периода крутильных колебаний магнитной «стрелки» от количества составляющих её шариков n (для большей точности каждое измерение проводится трижды):

n	4	5	6	7	8	9	10	11	12
T_1	1,0	1,2	1,4	1,6	1,9	2,1	2,5	2,6	2,8
T_2	1,0	1,3	1,4	1,7	2,0	2,3	2,4	2,7	2,9
T_3	1,0	1,3	1,5	1,7	2,0	2,4	2,5	2,7	2,9
T	1,0	1,3	1,4	1,7	2,0	2,3	2,5	2,7	2,9

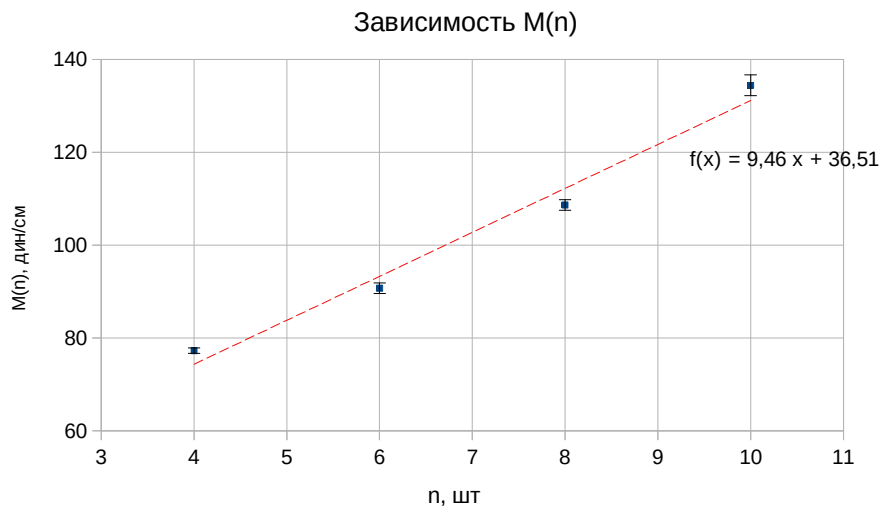


Полученный коэффициент наклона $k = 0,24 \pm 0,01$ с

Тогда $B_h = \frac{\pi^2 m_o d^2}{3 P_m k^2} = (0,7 \pm 0,1) Гс$ - горизонтальная составляющая магнитного поля Земли.

4) Соберем установку для определения вертикальной составляющей магнитного поля Земли. Изменяя количество шариков, составляющих магнитную стрелку, и измеряя момент силы тяжести, необходимый для уравнивания магнитного момента в каждом случае, получим зависимость $M(n) = An$:

n	m, гр	г, мм	M(n), дин/см	σM, дин/см
10	0,060	22,4	134,4	2,2
8	0,097	11,2	108,64	1,1
6	0,081	11,2	90,72	1,1
4	0,138	5,6	77,28	0,6



Полученный коэффициент наклона $A = 9,5 \pm 0,1$ дин/см

Тогда $B_v = \frac{A}{P_m} = (0,45 \pm 0,01) \text{ Гс}$ - вертикальная составляющая магнитного поля Земли.

5) Итого, индукция магнитного поля Земли $B = \sqrt{B_h^2 + B_v^2} = 0,83 \pm 0,06 \text{ Гс}$

Магнитное наклонение $\beta = \arctg\left(\frac{B_v}{B_h}\right) = 32^\circ \pm 5^\circ$

Выводы

Полученные значения индукции и поля сильно отличаются от табличных значений (0.60 — 0.65 Гс и $\sim 72^\circ$). Неточность значений вызвана неточностью использованных методов измерений.